УДК 621.926.3

РАСЧЕТ ОПТИМАЛЬНОЙ ТОЛЩИНЫ РАЗГОННЫХ ЛОПАТОК РОТОРНО-ЦЕНТРОБЕЖНОЙ МЕЛЬНИЦЫ

А.А. Гарабажиц

Белорусский государственный технологический университет

Представлена методика расчета оптимальной толщины разгонных лопаток роторно-центробежной мельницы. Получена эмпирическая зависимость, которая с достаточной степенью точности позволяет определять минимально допускаемую толщину разгонной лопатки мельницы в зависимости от ее текущего радиуса.

нергосберегающая роторно-центробежная мельница с непрерывной проточной классификацией готового продукта было разработана на кафедре МиАХиСП БГТУ более десяти лет назад и остается востребованной в различных отраслях промышленности Республики Беларусь по сей день. В настоящее время сотрудниками данной кафедры под руководством профессора Левданского Э. И. разработан целый ряд энергосберегающих роторно-центробежных аппаратов аналогичного принципа действия и различной технологической направленности [1, 2].

Конструктивные особенности и принцип действия энергосберегающей роторно-центробежной мельницы с непрерывной проточной классификацией готового продукта подробно изложены в работах [2–5].

При проектировании промышленного образца данной мельницы большой практический интерес представляет расчет оптимальной толщины ее основных (или наиболее ответственных) конструктивных элементов. Методика и основные результаты расчета на прочность роторного диска и опорной плиты мельницы были представлены автором в работе [6]. Знание оптимальной толщины основных конструктивных элементов роторно-центробежной мельницы позволит обеспечить высокую надежность и долговечность эксплуатации машины в целом.

Ротор энергосберегающей мельницы с непрерывной проточной классификацией готового продукта [2–5] снабжен восемью

разгонными радиальными лопатками, которые жестко крепятся к роторному диску аппарата, перпендикулярно его верхней торцевой поверхности (рис. 1). Разгонные лопатки мельницы изготавливаются из износостойкой стали, например Сталь 35Г2 ГОСТ 4543-71, поставляемой в виде листового проката.

Разгонную лопатку мельницы можно рассчитать на прочность как консольно закрепленную балку прямоугольного сечения, нагруженную усилиями от воздействия обрабатываемого материала ($P_{\rm M}$), находящегося в межлопастном пространстве ротора мельницы, и центробежной силы ($P_{\rm II}$), на основании методики [7].

Расчетная схема разгонной лопатки мельницы представлена на рис. 1.

Для определения максимальных изгибающих моментов действующих на разгонную лопатку мельницы необходимо вначале определить численные значения центробежной силы $(P_{\rm H})$ и усилия $(P_{\rm M})$.

Центробежную силу (P_n) , действующую на разгонную лопатку мельницы, можно определить по формуле

$$P_{ij} = m_{i} \cdot \omega^2 \cdot r_i, \qquad (1)$$

где m_{π} — масса одной разгонной лопатки, кг; ω — угловая скорость вращения ротора мельницы, рад/с (ω = 314); r_i — текущий радиус разгонной лопатки, м ($r_i \in [r_1, r_2]$); r_1 — начальный радиус разгонной лопатки, м (r_1 = 0.12); r_2 — конечный радиус разгонной лопатки, м (r_2 = 0.3).

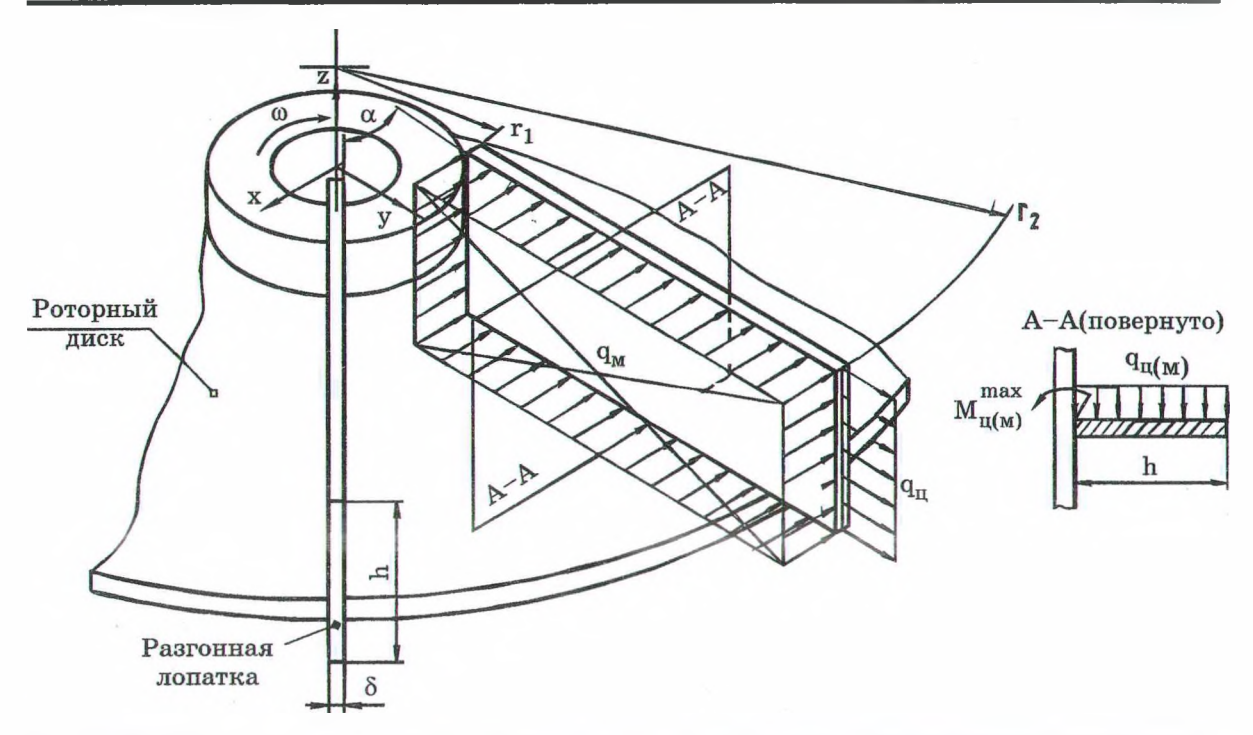


Рис. 1. Схема расчета на прочность разгонной лопатки роторно-центробежной мельницы: $r_1=0.12$ м; $r_2=0.3$ м; $\delta=0.005$ м; h=0.08 м; $\omega=314$ рад/с; $\alpha=45^\circ$.

При этом массу разгонной лопатки можно определить как

$$m_{n} = h \cdot \delta_{i} \cdot r_{i} \cdot \rho_{n}, \qquad (2)$$

где ρ_{π} — плотность материала лопатки, кг/м³ ($\rho_{\pi}=7790$ кг/м³ для Стали 35Г2 ГОСТ 4543-71); h — высота разгонной лопатки, м (h = 0.08); δ_{j} — текущая толщина лопатки, м.

Центробежная сила (P_{π}) равномерно распределена по всей высоте лопатки с интенсивностью (q_{π}) (рис. 1)

$$q_{ij} = \frac{P_{ij}}{h},$$
(3)

Максимальный изгибающий момент $(M_{\rm ц}^{\rm max})$ от центробежной силы $(P_{\rm ц})$ в месте крепления разгонной лопатки к роторному диску мельницы можно определить по формуле

$$M_{\mu}^{\max} = \frac{1}{2} \cdot q_{\mu} \cdot h^2. \tag{4}$$

После подстановки и соответствующих преобразований формула (4) примет вид

$$M_{ij}^{\max} = \frac{1}{2} \cdot \delta_j \cdot \rho_{\pi} \cdot \omega^2 \cdot r_i^2 \cdot h^2. \tag{5}$$

Предположим, что обрабатываемый материал, в процессе работы роторно-цен-

тробежной мельницы [2–5], полностью заполняет межлопастное пространство ротора (крайний случай) и при его вращении давит на плоскую поверхность разгонных лопаток с силой ($P_{\rm M}$).

В данном случае усилие (P_м) можно определить по следующей формуле

$$P_{\scriptscriptstyle M} = m_{\scriptscriptstyle M} \cdot g, \tag{6}$$

где $m_{\rm M}$ — масса обрабатываемого материала (например, гипса), заполняющего пространство между двумя соседними лопатками ротора мельницы, кг; g — ускорение свободного падения, m/c^2 .

Масса обрабатываемого материала может быть вычислена по формуле

$$m_{M} = V_{M} \cdot \gamma_{H}, \tag{7}$$

где $V_{\rm M}$ — объем обрабатываемого материала, заполняющего пространство между двумя соседними лопатками ротора мельницы, м³; $\gamma_{\rm H}$ — насыпная плотность обрабатываемого материала, кг/м³ ($\gamma_{\rm H}$ = $1200~{\rm kr/m}^3$ для гипса).

Предположим, что обрабатываемый материал заполняет пространство между двумя соседними лопатками ротора мельницы в форме прямой трапециидальной призмы высотой (h) и с углом раствора двух ее боковых граней (α) (рис. 1).

Тогда, после соответствующих тригонометрических преобразований, объем обрабатываемого материала ($V_{\rm m}$) можно определить как

$$V_{M} = \frac{1}{2} \cdot \left(r_2^2 - r_1^2\right) \cdot h \cdot \sin \alpha, \tag{8}$$

где α — угол между внутренними продольными поверхностями двух соседних лопаток ротора мельницы, град. ($\alpha = 45^{\circ}$).

Усилие обрабатываемого материала $(P_{\text{м}})$ равномерно распределено по всей высоте лопатки с интенсивностью $(q_{\text{м}})$ (рис. 1)

$$q_{M} = \frac{P_{M}}{h}.$$
 (9)

Максимальный изгибающий момент $(M_{\rm M}^{\rm max})$ от усилия $(P_{\rm M})$ в месте крепления разгонной лопатки к роторному диску мельницы можно определить по формуле

$$M_{M}^{\max} = \frac{1}{2} \cdot q_{M} \cdot h^{2}. \tag{10}$$

После подстановки и соответствующих преобразований формула (10) примет вид

$$M_{M}^{\max} = \frac{1}{4} \left(r_2^2 - r_1^2 \right) h^2 \gamma_{H} g \sin \alpha.$$
 (11)

Результирующий изгибающий момент $(M_{\rm изг})$ от действия центробежной силы $(P_{\rm u})$ и усилия $(P_{\rm m})$ будет равен

$$M_{use} = \sqrt{\left(M_{u}^{\max}\right)^{2} + \left(M_{M}^{\max}\right)^{2}}.$$
 (12)

Для консольно закрепленной балки прямоугольного сечения напряжение изгиба можно определить по следующей формуле

$$\sigma_{use} = \frac{M_{use}}{W_{\scriptscriptstyle E}},\tag{13}$$

где W_p – результирующий момент сопротивления площади поперечного сечения разгонной лопатки, см³.

Для нашего случая

$$W_p = \sqrt{W_x^2 + W_y^2}, (14)$$

где W_x , W_y — момент сопротивления площади поперечного сечения разгонной лопатки относительно оси (x) и оси (y) соответственно, cm^3 .

Для разгонной лопатки прямоугольного сечения будем иметь (рис. 1) [8]

$$W_{x} = \frac{\delta_{j} \cdot (r_{2} - r_{1})^{2}}{6}, \tag{15}$$

$$W_y = \frac{(r_2 - r_1) \cdot \delta_j^2}{6}. (16)$$

После подстановки и соответствующих преобразований формула (13) примет вид

$$\sigma_{uss} = \frac{3 \cdot h^2}{\delta_j \cdot (r_2 - r_1)} \cdot \sqrt{\frac{\delta_j^2 \cdot r_i^4 \cdot \rho_{\pi}^2 \cdot \omega^4 + \frac{1}{4} \cdot (r_2^2 - r_1^2)^2 \cdot \gamma_{\pi}^2 \cdot g^2 \cdot (\sin \alpha)^2}{\delta_j^2 + (r_2 - r_1)^2}}.$$
 (17)

Наибольшие касательные напряжения (напряжения среза) для консольно закрепленной балки прямоугольного сечения можно определить по следующей формуле [8]

$$\tau_{cp}^{\max} = \frac{3}{2} \cdot \frac{Q_p}{F},\tag{18}$$

где $Q_{\rm p}$ — результирующая поперечная сила, действующая на консольную балку в рассматриваемом прямоугольном сече-

нии, H; F – площадь поперечного сечения балки, M^2 .

В нашем случае

$$Q_p = \sqrt{P_u^2 + P_M^2}, (19)$$

a
$$F = (r_2 - r_1) \cdot \delta_j. \tag{20}$$

Тогда после подстановки и соответствующих преобразований формула (18) примет вид

$$\tau_{cp}^{\max} = \frac{3 \cdot h}{2} \cdot \frac{\sqrt{\delta_j^2 \cdot r_i^4 \cdot q_{\pi}^2 \cdot \omega^4 + \frac{1}{4} \cdot \left(r_2^2 - r_1^2\right)^2 \cdot \gamma_{\pi}^2 \cdot g^2 \cdot (\sin \alpha)^2}}{(r_2 - r_1) \cdot \delta_j}.$$
 (21)

90 Химическая промышленность, т. 85, N°2, 2008

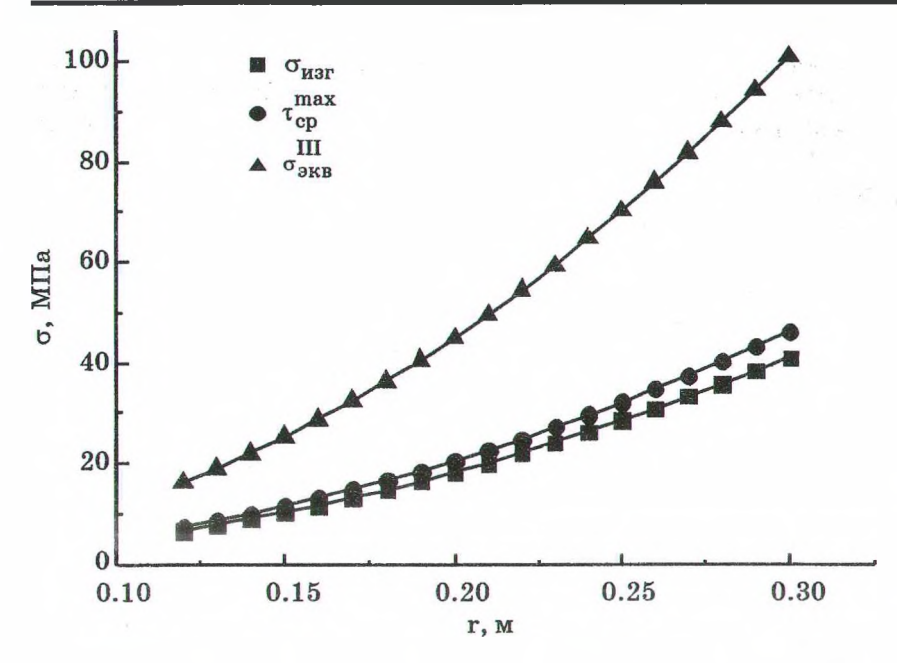


Рис. 2. Зависимость напряжений изгиба, среза и эквивалентных напряжений от текущего радиуса разгонной лопатки мельницы.

Эквивалентные напряжения, действующие на разгонную лопатку ротора мельницы, можно определить по формуле [9]

$$\sigma_{\varkappa \kappa \sigma}^{III} = \sqrt{\sigma_{u \varkappa \tau}^2 + 4 \cdot \left(\tau_{cp}^{\max}\right)^2} \le [\sigma]. \tag{22}$$

На основании всестороннего анализа формул (17), (21) и (22) можно предположить квадратичный характер зависимости эквивалентных напряжений ($\sigma^{III}_{\mbox{экв}}$) от текущей толщины разгонной лопатки ($\delta_{\mbox{\scriptsize j}}$). Исходя из этого, минимально допускаемую толщину разгонной лопатки мельницы можно определить по следующей формуле [10]

$$\left[\delta_{j}\right] = \sqrt{\frac{\sigma_{\beta\kappa\theta}^{III}}{\left[\sigma\right]}} \cdot \delta_{j},\tag{23}$$

где $[\sigma]$ — допускаемое напряжение материала лопатки, МПа ($[\sigma]$ = 180).

Расчет оптимальной толщины разгонной лопатки мельницы выполнялся с использованием ЭВМ, по средствам специально разработанной программы. Основные результаты расчета оптимальной толщины разгонной лопатки мельницы представлены на рис. 2 и 3.

После аппроксимации кривой [] = f(r) (рис. 3) была получена эмпирическая зависимость [] = $-2-15 \cdot r^3 - 7.34/\ln r$, которая с достаточной степенью точности (схо-

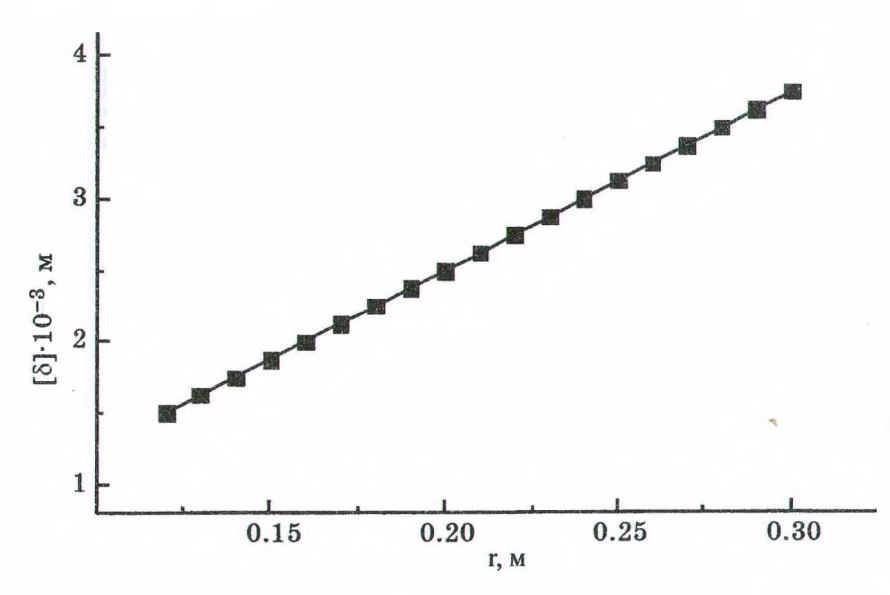


Рис. 3. Зависимость минимально допускаемой толщины разгонной лопатки мельницы от ее текущего радиуса.

димость 99%) позволяет определять минимально допускаемую толщину разгонной лопатки мельницы в зависимости от ее текущего радиуса.

Представленные в данной статье и в работе [6] методики расчета оптимальной толщины роторного диска, опорной плиты и разгонных лопаток роторноцентробежной мельницы, могут быть использованы для прочностного расчета соответствующих конструктивных элементов машин и аппаратов аналогичного принципа действия.

Библиография

- 1. Левданский Э. И., Левданский А. Э. Энергосбережение при измельчении. // Минск, БГТУ, 1999, 86 с.
- 2. Левданский А. Э., Левданский Э. И. Высокоэффективные проточные процессы и аппараты. // Минск, БГТУ, 2001, 236 с.
- 3. Пат. 4770 РБ, МПК 6-В 02С 13/14. Мельница / А.Э. Левданский, А.А. Гарабажиу, Э.И. Левданский, С.Э. Левданский. Заявл. 29.04.99; Опубл. 21.05.02 // Изобретения, 2002, № 5.
- 4. Гарабажиу А. А. Энергосберегающая роторно-центробежная мельница для тонкого помола сыпучих и кусковых материалов. // Архитектур-

- но-строительное материаловедение на рубеже веков: Материалы докладов Международной интернет-конференции, 20 окт. 2002 г. / Минист. образ. РФ. БелГТАСМ. Белгород, 2002, с. 26?32.
- Гарабажиу А. А., Мурог В. Ю. Теоретические исследования процессов измельчения и классификации сыпучих материалов в роторно-центробежной мельнице / А. А. Гарабажиу, В. Ю. Мурог // Химическая промышленность. 2003. № 5. С. 3?11.
- 6. Гарабажиу А. А. Расчет на прочность элементов конструкции роторно-центробежной мельницы // Химическая промышленность, 2006, Т. 83, № 9, с. 421–426.
- 7. Сергеев Б. М. Расчет на прочность деталей машин пищевых производств // М., Машиностроение, 1969, 143 с.
- 8. Феодосьев В. И. Сопротивление материалов // М., Высшая школа, 1979, 426 с.
- 9. Канторович З. Б. Основы расчета химических машин и аппаратов // М., Машиностроение, 1960, 744 с.
- 10. Батунер Л. М., Позин М. Е. Математические методы в химической технике // Л., Химия, 1971, 824 с.